

ارزیابی پارامترهای سینتیکی و فعالسازی پلیمرشدن الکتروشیمیایی ارتوآمینوفنول

Evaluation of Kinetics and Activation Parameters of Electrochemical Polymerization of Ortho-aminophenol

عادلی زمینی، سیده مریم وحدتی محدث

۱- دانشگاه مازندران، دانشکده علوم پایه، بالسر، مددوی پستی ۷۵۳

دوریافت: ۷۸/۲۲/۲۲، پذیرش: ۷۸/۲۲/۲۲

چکیده

اکسپلی آندی ارتوآمینوفنول در محیط آبی ابتدی روی الکترودهای مختلف، سرمه تشكیل پلیمر الکترودهای می‌شود. برای تعیین ثابت سرعت پلیمرشدن الکتروشیمیایی روش اندازه‌گیری تحریرات بازگشایی برحسب تعداد پرتو مکار گرفته شد. برای انجام این کاره محدوده پوشش پتانسیل بین -0.2 و $+0.4$ ولت به الکترود مرجع تقریباً 1 V/د. ا، الکتروولت حامل پرکلینکت ابید 1 M در سدیم پرکلرات 4 M و محدوده غلظت 0.005 تا 0.05 M در اورتوآمینوفنول استخراج شد. برای ارزیابی پارامترهای فعالسازی، تحریرات دما در گریزه 20 ، 50 و 70 °C در ظرف گرفته شد. براساس نتایج تحریس آبگلی، آستریوی و اسبری آزاد گیس فعالسازی، به ترتیب براساس 1 kJmol $^{-1}$ ، $3/816$ kJmol $^{-1}$ و $4/222$ kJmol $^{-1}$ از اسپلی آمینهای فعالسازی ظاهری برای 1 mol $^{-1}$ JK $^{-1}$ ، $138/456$ و $222/45$ kJmol $^{-1}$ برای فعالسازی الکتروپلیمرشدن ارتوآمینوفنول محاسبه شد.

واژه‌های کلیدی: پلیمرشدن الکتروشیمیایی، اورتوآمینوفنول، سینتیک، پارامترهای فعالسازی، دلایلی پوچه‌ای

Key Words: electrochemical polymerization, ortho-aminophenol, kinetics, activation parameters, cyclic voltammetry

مقدمه

دستیاری به فلمهای پلیمری تارک و الکترودهای اصلاح شده با پلیمر الکترودهای گسترش یافته است. املا در زمینه سینتیک و پارامترهای فعالسازی هرایند پلیمرشدن الکتروشیمیایی تحقیقات کمتری انجام شده است. سینتیک و مکایس رشد پلیمر بر سطح الکترود موضوع بیجدوهای است و برای گروه ترکیبات آینهای آروماتیک مانند آنیلین و مشتقانش هنوز مورد بحث است. موهینر و هسکاراش برای پلی آنیلین ساختار زنجیری خطی با واحدهای هشتتاپی آنیلین به نام امرالدین پیشنهاد کردند [۱]، ولی بعدها گینیانی مکایس تناوبی را برای الکتروپلیمرشدن آنیلین ارائه داد [۲]

در سالهای اخیر توسعه و کاربرد وسیع پلیمرها در صنعت، زمینه‌های کاربردی جدیدی را برای پلیمرهای رسانای الکتریسیتی ایجاد کرده است. این پلیمرها خواص مناسبی برای کاربردهای الکتریکی دارند. الکتروپلیمر شدن ترکیبات آروماتیک متأثر از جمله تاجور حلقه‌های آرماتیک (پیرول، نیوفن، فوران) [۳، ۴]، ترن مانند و تابزن مانند [۵، ۶]، آینهای آرماتیک [۷]، فولهای [۸]، آینهای استخلاف شده مثل کمپلکس‌های فلزی فانتولین و بورفربنها [۹]، غالباً با دو هدف

جدول ۱ - نام و برخی مشخصات مواد شیمیایی مورد استفاده

| نام ماده شیمیایی | فرمول ساخته ای | علامت اختصاری | دماهی ذوب (°C) | رنگ بلور |
|--|----------------|---------------|----------------|-------------|
| ارتوآمیوفنول (o-aminophenol) | | OAP | ۱۷۲-۱۷۴ | بی رنگ |
| ارتوفینل دی آمین (o-phenylenediamine) | | OPD | ۳۹-۳۰-۲ | بی رنگ |
| پارافینل دی آمین (p-phenylenediamine) | | PPD | ۱۴۱-۱۴۲ | ارغوانی |
| آنیلن (Aniline) | | An | -۶-(-۵) | مایع بی رنگ |
| دی فینل هیدرازین (N,N'-diphenyl hydrazine) | | | ۱۶۲-۱۶۵ | نارنجی |
| ۱-آمینو-۲-نفتل-۴-سولفوریک اسید (1-amino-2-naphthel-4-sulfonic acid) | | | ۱۰۱-۱۰۵ | بنفش |
| ۲-آمینوفنوكازون (2-aminophenoxyazone) | | ۲APZ | ۲۵۵ | فرمز |

تجربی

مواد و دستگاه

در این پژوهش از برخی آمینهای آروماتیک استفاده شده که فرمول شیمیایی، علامت اختصاری و برخی مشخصات فیزیکی آنها در جدول ۱ آمده است. همچنین، مشخصات مواد دیگر مورد استفاده به شرح زیر است: سدیم بروکلرات، سدیم سولفات، پتامیم کلرید، بروکلریک اسید، سولفوریک اسید، کلروفرم و هیدروولیک اسید که اکثر مواد ساخت کارخانه فلوكا بود و برخی از آنها با خالص سازی مجدد مورد استفاده قرار گرفت.

برای تهیه محلولها از آب سه بار تقطیر شده به عنوان حلال

اخیراً فیلمهای پلیمری دیگری در ارتباط با یلی آنلین مانند پلی ارتوآمیوفنول در محیط آبی اسیدی با خواص متغیر سرمهی شده است [۱۰-۱۵]، ولی با توجه به اینکه در زمینه سینتیک و پارامترهای ترمودینامیکی فعالسازی این فرایند اطلاعاتی موجود نیست، از این رو این پژوهش با هدف دستیابی به چنین اطلاعاتی انجام شد. استدعا، فرایند پلیمرشدن الکتروشیمیایی ارتوآمیوفنول از دیدگاه سینتیکی و ترمودینامیکی بررسی شد. در این راستا سرعت، تابت سرعت، انرژی فعالسازی و همچنین آنالیز، انزویل و انرژی آزادگیس با استفاده از روش ارائه شده توسط بینوی و همکاراش معین شد [۱۶-۱۸]. همچنین، اثر تغییر دما بر سینتیک و پاسخ فیلم پلی ارتوآمیوفنول بررسی گردید.

نگه در تهیه محلولهای ارتوآمینوفنول این است که قبل از ورود ارتوآمینوفنول، محلول باید کاملاً اکسیژن زدایی شود. همچنین، پس از حل کردن ارتوآمینوفنول در محلول نیز اکسیژن زدایی باید دوباره انجام شود. علت این کار جلوگیری از اکسایش زود هنگام ارتوآمینوفنول قبل از شروع آزمایش است. برای جلوگیری از اکسایش پلیر تشکیل شده طی آزمایشها نیز اکسیژن زدایی ضروری است.

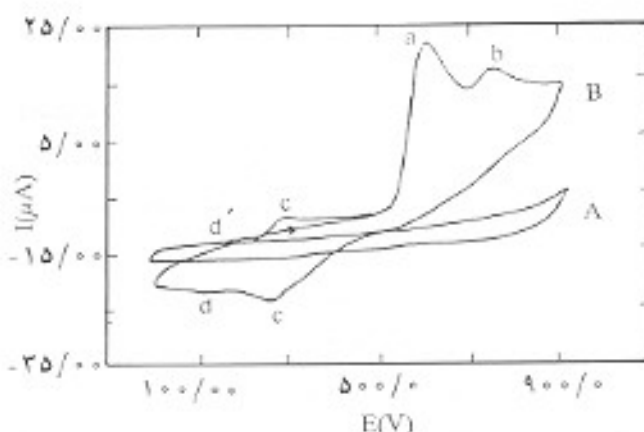
تهیه فیلم پلی اورتوآمینوفنول

برای تهیه فیلم از روش ولتاوری چرخه‌ای استفاده شد. به محلول آبی دارای ارتوآمینوفنول با غلظت $M = 0.5$ / و سدیم پرکلرات $M = 0.4$ / و پرکلریک اسید $M = 0.1$ /، پتانسیلی در گستره $0.8 \text{ V} / 0.0 \text{ V}$ نسبت به الکترود مرتع نفره - نفره کلرید و با سرعت پویش 100 mV/S اعمال شد. تکرارش شده است [۲۱] که در این شرایط دستیابی به فیلم پلیری بطور تکرار پذیر عملی است.

نتایج و بحث

اندازه‌گیری سرعت تشکیل پلیر یکی از مهمترین مطالعات سینتیکی است. اندازه‌گیری سرعت پلیرشدن الکتروشیمیایی به کمک روش ولتاوری چرخه‌ای با بررسی تغییرات بار با جریان آندی و کاندی در طول فرایند الکتروپلیرشدن امکان پذیر است، اما خطای اندازه‌گیری جریان دماغه به لحاظ حافظ جریان بارداری، قابل توجه است. از این رو بهتر است از کمیت بار (O) که انتگرال جریان است، استفاده کرد. در شکل ۱ - آلف ولتاوموگرام چرخه‌ای محلول اسیدی الکتروولیت 4 M NaClO_4 / و 0.4 M HClO_4 / در شکل ۱ - ب و لتاوموگرام چرخه‌ای اکسایش ارتوآمینوفنول تشدید شده است. برای اولین پویش در جهت ثبت محور پتانسیل، دماغه ۵ مربوط به تشکیل کاتیون رادیکالها ($OAP^{\bullet+}$) ارتوآمینوفنول است و دماغه ۶ مربوط به اکسیش $OAP^{\bullet+}$ به دی کاتیون رادیکال $OAP^{\bullet+}$ است که به ترتیب در پتانسیلهای $75 \text{ mV} / 0$ و $7 \text{ mV} / 0$ نسبت به الکترود مرتع نفره - نفره کلرید ظاهر شده‌اند. عدم وجود دماغه‌های کاندی مربوط به این دو دماغه بیانگر برگشت تاپذیری اکسایش مونومر است. سپس، با پویش پتانسیل در جهیت منتهی محور پتانسیل، دو دماغه ۷ در پتانسیل $7 \text{ mV} / 0$ و ۸ در پتانسیل $7 \text{ mV} / 0$ ظاهر می‌شوند.

در چرخه‌های بعدی شکل ۲ دو زوج دماغه‌های کاهشی تاول و اکسیدی ۵ و ۶ موجود می‌آید که با افزایش تعداد چرخه‌ها، دماغه‌های این‌ها کلی حذف می‌شود و فقط آنها رشد می‌کند. بطوری که دماغه‌های آنها نظریاً از چرخه دهم، زوج خالصند، این زوج



شکل ۱ - ولتاوموگرام چرخه‌ای محلول در گستره پویش $0.05 \text{ V} / 0.97 \text{ V}$ بر حسب Ag/AgCl با سرعت پویش 100 mV/S (الف) محلول اسیدی الکتروولیت فاقد مونومر و (ب) محلول حاوی ارتوآمینوفنول 0.4 M NaClO_4 / و الکتروولیت حامل 4 M HClO_4 / .

استفاده و برای حذف مراحتت اثر اکسیژن در بررسیهای الکتروشیمیایی، اگاز نیتروژن با درجه خلوص 99.99 % در صد بکار گرفته شد. همچنین، ارتوآمینوفنول با روشنی که در مرتع $20 \text{ mV} / 0$ تکرارش شده است خالص سازی شد.

واکنشهای الکتروشیمیایی در داخل سلول متدائل سه الکتروودی که به وسیله دستگاه پتانسیل‌بای و جریان‌بای مدل ۲۶۲A ساخت کارخانه EG&G توزیع می‌شوند، انجام گرفت. این دستگاه به کمک کامپیوتر با نرم‌افزارهای 25.0 mV/S و 27.0 mV/S راه‌اندازی شد. جمع آوری و بررسی داده‌ها نیز با کمک نرم‌افزارهای یاد شده صورت یافته. ولتاوموگرامها مستقیماً به وسیله یک دستگاه چاپگر از نوع Epson LO-100 رسم گردید.

از الکتروودهای طلا (Au)، پلاتین (Pt) و کربن شبکه‌ای (GC) با حاصل شبکه‌ای ساخت کارخانه EG&G به عنوان الکتروود کار، از الکترود مرتع نفره - نفره کلرید و الکترود کمکی میله‌ای پلاتین نیز استفاده شد.

روشها

تهیه محلولها

برای تهیه محلولهایی با غلظتها م مختلف مونومر، ابتدا یک محلول الکتروولیت فاقد مونومر شامل اسید و سکت مربوط با غلظت موره نیاز در آب سه بار تقطیر شده تهیه و سپس مونومر با غلظت دلخواه در محلول مادر حل گردید.

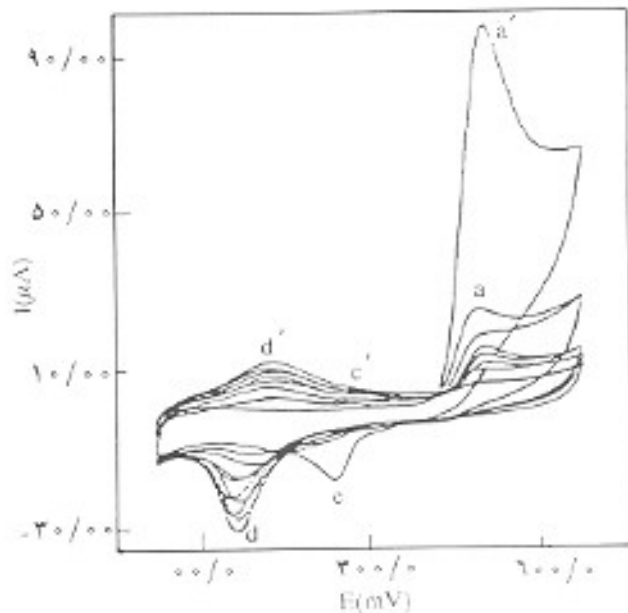
$$\lg \alpha = \frac{dQ_C}{dN} = \frac{dC}{dt} = R_p \quad (1)$$

با استفاده از معادله کلی سرعت و رسم تحدودار لگاریتمی سرعت بر حسب غلظت، ثابت سرعت پلیمرشدن حاصل می شود.
پارامترهای فعالسازی به تفکیک برای فرایند پلیمرشدن الکتروشیمیایی قابل بررسی است. بررسی آثار دما بر ثابت سرعت و ارزیابی اثری فعالسازی و فاکتور پیش نمایی، که مفهوم متداول خود را در میتک شیمیایی دارد و در اینجا مربوط به تعداد برخوردهای موثر بین اجزای فعال یعنی کاتیون رادیکالها، دی کاتیون رادیکالها و غیره در واحد زمان و واحد سطح الکtrood است، با استفاده از معادله آرنیوس و محاسبه آنتالپی، آنرودی و اثری آزاد گیگس فعالسازی با استفاده از معادله آبرینگ برای واکنش پلیمرشدن الکتروشیمیایی مسکن می شود [۲۰]:

$$\ln(K_{app}/T) = \frac{\Delta H^\#}{T} + \frac{\Delta S^\#}{R} + \ln(\frac{k}{h}) \quad (2)$$

که در آن K_{app} ثابت سرعت ظاهری، $\Delta H^\#$ تغییرات آنتالپی فعالسازی و $\Delta S^\#$ تغییرات آنرودی فعالسازی فرایند الکتروشیمیایی است و بقیه عبارات مقادیر متداول خود را دارند.

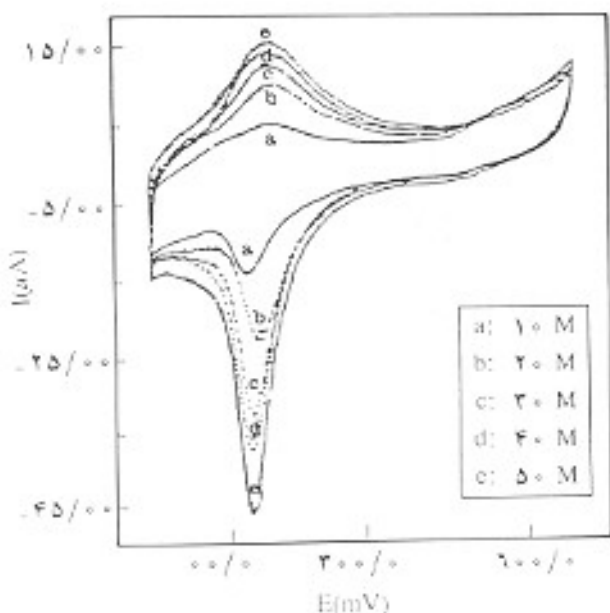
از شب و از عرض از میدان تحدودار ($\ln(K_{app}/T)$) بر حسب $1/T$ نتایج $\Delta H^\#$ و $\Delta S^\#$ محاسبه می شود [۲۲]:



شکل ۲. ولتاژوگرامهای چرخه‌ای اکسایش مونومر و تشکیل فیلم پلیمر الکترونیک در محلول حاوی 1M HClO_4 ، 0.4M NaClO_4 ، $0.1\text{M}\text{Artono}\text{-Aminofenol}$ طی چرخه‌های متوالی سرعت پویش 5mV/S ، محدوده پویش $-200\text{--}400\text{ mV}$ نسبت به الکترود Ag/AgCl (الکتروولیت حامل).

اکسایش-کاهشی مشخصه فیلم پلیارتوآمینوفنول بوده و با مطالعات گسترده طیف سنجی و الکتروشیمیایی [۲۱، ۲۲] مشخص شده است که این روح اکسایشی-کاهشی مربوط به مخصوص ۳-آمینو فنوكسازون (دیس-حلقی ارتونو آمینوفنول) و پلیمر حاصل است. فیلم پلیمر تهیه شده در چرخه‌های متوالی ($10\text{--}50\text{ s}$) از محلول الکتروولیت ابیدی بدون مونومر قرار شنیده شد و میس در محلول الکتروولیت ابیدی بدون مونومر قرار گرفت که ولتاژوگرامهای چرخه‌ای شکل ۳ نشان دهنده رشد فیلم پلیمر در چرخه‌های متوالی و یک روح اکسایشی-کاهشی در محدوده پتانسیل دماغه‌های $1\text{--}4\text{ V}$ در فرایند الکتروشیمیایی است.

در پلیمرشدن الکتروشیمیایی به کمک روش ولتاژی چرخه‌ای، در هر پویش آندی، بار آندی کل (Q_0) به مصرف در پلیمرشدن و اکسایش پلیمر رسوب کرده بر سطح الکtrood و بار کاتدی کل (Q_c) به کاهش کل پلیمر الکترونیک و فعال رسوب کرده نسبت داده می شود [۱۶]. طبق این روش، بار کاتدی کل (Q_c) با مقدار پلیمر الکترونیک تشکیل شده در طول پلیمرشدن (C) مناسب است و سرعت تشکیل پلیمر (R_p) همان تغییرات بار کاتدی کل نسبت به چرخه‌های طی شده (N) است که N متاثر با زمان واکنش (t) است. به عبارتی $C = Q_c / N = t$ است:



شکل ۳. ولتاژوگرامهای چرخه‌ای فیلم پلیارتوآمینوفنول بر سطح الکترونیک پلیمر در محلول اسیدی بدون مونومر و سرعت پویش 10 mV/S در چرخه‌های متوالی از فرایند رشد پلیمر.

سولفوریک اسید و پتانسیم کلرید - کلریدوریک اسید با غلظت $M/4$ نمک و $1 M$ اسید پتانسیلی در گستره $7/8$ نسبت به الکترود مرجع نقره - نقره کلرید با سرعت پویش 100 mV/S اعمال شد.

بارکاتندی از ولتاومگرام در چرخه های متواال استخراج شد و از شب نمودار بارکاتندی بر حسب تعداد چرخه، سرعت پلیمرشدن الکتروشیمیایی در محلول سه الکتروولیت متفاوت محاسبه گردید.

همان گونه که از تابع جدول ۲ بر می آید سرعت پلیمرشدن در محلول دارای سدیم پرکلرات - پرکلریک اسید در شرایط آزمایش یکسان از دو محلول الکتروولیت دیگر بیشتر است، بتایران الکتروولیت حاوی پرکلرات برای تمام آزمایشها برگردید.

مقایسه سرعت تشکیل پلی ارتوآمینوفول بر سطح سه الکترود مختلف الکتروودهای طلا (Au)، پلاتین (Pt) و کربن شبه ای (GC) به ترتیب در محلول آبی دارای ارتوآمینوفول $M/5$ ، سدیم پرکلرات $M/4$ و پرکلریک اسید $1 M$ قرار داده شد. غلظتها با توجه به مرجع ۲۱ برای حصول پلیمرهای تکراری بذیر انتخاب گردید. الکتروپلیمرشدن بر سطح الکتروودهای با اعمال پتانسیل در گستره $7/8$ نسبت به نقره - نقره کلرید و با سرعت پویش 100 mV/S در تمام $100 \text{ الجام شد}.$

با توجه به سرعتهای درج شده در جدول ۲ می توان دریافت که سرعت پلیمرشدن الکتروشیمیایی بر سطح الکترود پلاتین بیشتر از دو الکتروود طلا و کربن شبه ای است. این نتیجه تفاوت سرعت الکتروپلیمرشدن بر سطح الکتروودهای مختلف ناشی از ساختار و شکل شناسی سطح الکترود است و توجه این پدیده با مطالعات وسیع فیزیکی - شیمیایی سطح الکترود عملی است که در این قسمت وارد این مبحث نشده و فقط از نتیجه آن طی آزمایشها استفاده می شود.

ارزیابی پارامترهای سینتکی فرایند الکتروپلیمر شدن ارتوآمینوفول برای تعیین تجربی معادله سرعت و پارامترهای سینتکی نیاز به یافتن سرعت و ثابت سرعت پلیمرشدن الکتروشیمیایی است. برای تعیین سرعت پلیمرشدن الکتروشیمیایی ارنوآمینوفول براساس بخش تظری از آن ولتاومتری چرخه ای با سرعت پویش پتانسیل 100 mV/S محدوده

جدول ۲ - سرعت پلیمرشدن الکتروشیمیایی (R_p) ارتوآمینوفول بر سطح الکتروودهای طلا (Au)، پلاتین (Pt) و کربن شبه ای (GC).

| τ^* | $R_p(\mu\text{c/cycle})$ | جنس الکترود |
|----------|--------------------------|-------------|
| $0/992$ | $1/814$ | Pt |
| $0/987$ | $1/012$ | Au |
| $0/988$ | $0/228$ | GC |

جدول ۲ - سرعت پلیمرشدن الکتروشیمیایی (R_p) ارتوآمینوفول در سه محلول الکتروولیت متفاوت.

| نوع الکتروولیت | $R_p(\mu\text{c/cycle})$ |
|--|--------------------------|
| KCl/HCl | $0/147$ |
| $\text{NaClO}_4/\text{HClO}_4$ | $0/447$ |
| $\text{Na}_2\text{SO}_4/\text{H}_2\text{SO}_4$ | $0/966$ |

همچنین، با توجه به رابطه ای که بین ارزی آزاد گیبس فعالسازی با آنژروپی و آنتالپی فعالسازی برقرار است، می توان مقدار این تابع را در 25°C محاسبه کرد:

$$\Delta G^\# = \Delta H^\# - T \Delta S^\# \quad (2)$$

بررسی عوامل موثر بر سرعت پلیمرشدن الکتروشیمیایی در فرایند الکتروپلیمرشدن با روش ولتاومتری چرخه ای عواملی چون پتانسیل سوئیچی، سرعت پویش پتانسیل و محدوده آن، نوع الکتروولیت و غلظت آن، نوع الکترود و pH محلول [۱۷، ۲۴-۲۶] بر سرعت پلیمرشدن الکتروشیمیایی بسیار موثرند.

در این پژوهش معنی شده است از این عوامل تا حد امکان در شرایط بهبود استفاده شود. شرایط بهبودی به مفهوم دستیابی به بیشترین مقدار سرعت پلیمرشدن الکتروشیمیایی به صورت یک متغیر در زمان است.

در فرایند الکتروپلیمرشدن ارتوآمینوفول با روش ولتاومتری چرخه ای برخی از این عوامل به منظور دستیابی به فیلم پلیمری تکراری پر [۲۱] بدون بررسی انتخاب گردید، مثلاً محدوده غلظت برای ارنوآمینوفول، غلظت الکتروولیت شامل اسید و نمک مربوط، سرعت پویش پتانسیل، پتانسیل سوئیچی و pH محلول، که تحت شرایط تکرارش شده [۲۱] برگردیده شدند. اما، برخی دیگر از این عوامل مانند نوع الکترود و الکتروولیت مورد ارزیابی قرار نگرفت.

همچنین، برای کسب اطمینان از صحبت روش کار تجربی ثابت سرعت پلیمرشدن الکتروشیمیایی آبلین المداره گیری شد و سپس این مقدار با آنچه تکرارش شده بود [۲۴] مقایسه گردید که مقدار $K_p = 10/536 \mu\text{c/cycle}$ محاسبه شده با مقدار تکرارش شده در مرجع ۲۶ $K_p = 10/50 \mu\text{c/cycle}$ توافق خوبی نشان می دهد.

مقایسه سرعت تشکیل پلی ارتوآمینوفول در سه نوع محلول الکتروولیت مختلف به محلولهای آسی ارتوآمینوفول با غلظت $M/5$ دارای الکتروولیتهای سدیم پرکلرات - پرکلریک اسید، سدیم سولفات.

جدول ۴- مقادیر محاسبه شده سرعت پلیمرشدن الکتروشیمیایی ارتو-آمینوفول در هر غلظت (T=25°C)

| t^* | R (μc/cycle) | 20 (N/cycle) | 40 (N/cycle) | 70 (N/cycle) | 100 (N/cycle) | C/M |
|--------|-----------------|--------------------|-----------------|-----------------|------------------|-------|
| | | بار کاتدی متوسط، 0 | | | | |
| 0/9982 | 0/2585 | 12/180 | 8/421 | 6/305 | 4/294 | 0/005 |
| 0/9981 | 0/2781 | 12/710 | 8/641 | 6/480 | 4/421 | 0/007 |
| 0/9748 | 0/2228 | 14/760 | 11/700 | 7/204 | 4/576 | 0/010 |
| 0/9963 | 0/2441 | 15/270 | 12/660 | 8/602 | 5/209 | 0/025 |
| 0/9934 | 0/3616 | 16/420 | 12/850 | 9/055 | 5/427 | 0/020 |
| 0/9803 | 0/5222 | 26/421 | 16/950 | 10/290 | 5/728 | 0/050 |

شکل ۴ نشان دهنده بار کاتدی بر حسب تعداد چرخه‌های ملی شده در طول فرایند الکتروپلیمرشدن ارتو-آمینوفول در گستره غلظتی ۰۰۵-۰۰۵ M / ۰۰۵-۰۰۵ M / ۰۰۵-۰۰۵ M (طور استخراج) است. از شبیه خطوط رسم شده سرعت پلیمرشدن الکتروشیمیایی در هر غلظت محاسبه می‌گردد (جدول ۴). به طریق مشابه سرعت فرایند در دمای دیگر نیز قابل محاسبه است. با بررسی جدول ۵ نتایج کلی زیر بدست می‌آید:

- با افزایش غلظت، در هر چرخه بار کاتدی افزایش می‌یابد.
- با افزایش تعداد چرخه‌های ملی شده در هر غلظت، بار کاتدی افزایش می‌یابد.
- با افزایش دما از ۲۵°C به ۴۵°C و از ۴۵°C به ۳۵°C، بار کاتدی در هر غلظت و هر چرخه تبیین شده باشد.
- با افزایش غلظت در هر دما، سرعت پلیمرشدن الکتروشیمیایی افزایش می‌یابد. سطور کمی در دمای ۲۵°C، با افزایش غلظت از ۰۰۵ M / ۰۰۵ به ۰۰۵ M / ۰۰۵ سرعت پلیمرشدن الکتروشیمیایی ۶/۰۴۱ برابر در دمای ۳۵°C، ۲/۶۰ و در دمای ۴۵°C، ۰/۹۵۹ برابر می‌شود.
- با افزایش دما در هر غلظت، سرعت پلیمرشدن الکتروشیمیایی

بیوش پتانسیل (۸/۰-۰) است به الکترود مرجع نقره - نقره کلرید بر سطح الکترود کار پلاستن استفاده نگردد. با تغییر غلظت ارتو-آمینوفول در محدوده غلظت ۰۰۵-۰۰۵ M / ۰۰۵-۰۰۵ M / ۰۰۵ به عنوان پلیکلریک است ۱/۰ و سدیم پرکلرات ۴/۰ به عنوان الکتروولت حامل، سرعت پلیمرشدن افزایشی شد. این شرایط استخراج با نوچه به مرجع ۲۱ برای بدست آوردن پلیمرهای نکلرولیدی و ما در نظر گرفتن نتایج دو بخش قبل برگزیده شد.

بدین مطور در چرخه‌های متوالی (۱۰-۵-۵-۱)، بار کاتدی کل از ولتاژ‌گرامهای چرخه‌ای پلی ارتو-آمینوفول استخراج نگردید و سرعت پلیمرشدن الکتروشیمیایی ($R_p = dQ/dt$) از شبیه منحنی بار کاتدی بر حسب تعداد چرخه، که متناظر با رامان واکنش است، معنی نگردد.

با هدف تعیین ارزی فعالسازی (F_v)، ضرب بیش سایی (۸)، تغیرات آنتالپی فعالسازی ($\Delta H^\#$)، تغیرات آتروبی فعالسازی ($\Delta S^\#$) و تغیرات اتری آزاد گیس فعالسازی ($\Delta G^\#$)، آثار دما روی ثابت سرعت بررسی شد. بدین مطور تمام مرحله باد شده در دمای ایمنی متفاوت نگذارد.

همچنین، برای کاهش خطا، همه مرحله مرتبه تکرار نگردید. مقدار انحراف استاندارد برابر با $0/678 \mu\text{c}/\text{cycle}$ بود. بدست آمد.

جدول ۵- مقادیر محاسبه شده سرعت پلیمرشدن الکتروشیمیایی ارتو-آمینوفول در سه دمای ۲۵، ۳۵ و ۴۵°C برای هر غلظت.

| ۴۵°C | | ۳۵°C | | ۲۵°C | | C/M |
|--------|-------------|--------|-------------|--------|-------------|-------|
| t^* | R(μc/cycle) | t^* | R(μc/cycle) | t^* | R(μc/cycle) | |
| 0/9815 | 0/4558 | 0/9992 | 0/4279 | 0/9982 | 0/2585 | 0/005 |
| 0/9964 | 0/5207 | 0/9972 | 0/5022 | 0/9983 | 0/2781 | 0/007 |
| 0/9981 | 0/5917 | 0/9996 | 0/5124 | 0/9748 | 0/2228 | 0/010 |
| 0/9938 | 0/7781 | 0/9922 | 0/5692 | 0/9963 | 0/2441 | 0/025 |
| 0/9922 | 0/8824 | 0/9972 | 0/5502 | 0/9934 | 0/3616 | 0/020 |
| 0/9925 | 0/8920 | 0/9886 | 0/8854 | 0/9803 | 0/5222 | 0/050 |

از معادله کلی سرعت ($R=k[A]^2$) و رسم نمودار لگاریتمی برای این رابطه، ثابت سرعت برای این فرایند بدست می‌آید.

مقادیر محاسبه شده ثابت سرعت ظاهری پلیمرشدن الکتروشیمیایی ارتو-آمینوفنول در جدول ۶ درج شده است. با توجه به این مقادیر می‌توان نتیجه گرفت که با افزایش دما از 25°C به 45°C ثابت سرعت $1/7278$ برابر با افزایش دما از 25°C به 45°C برابر $1/256$ برابر افزایش یافته است.

با افزایش دما ثابت سرعت ظاهری پلیمرشدن الکتروشیمیایی ارتو-آمینوفنول افزایش یافته است. این امر با توجه به اینکه افزایش دما علاوه بر ایجاد برخورد های موثر بیشتر، پتانسیل لازم برای گذشت از قله ارزی واکنش را فراهم می‌کند، قابل انتظار است. ولی، میزان افزایش ثابت سرعت هستگام با افزایش دما تا حدی امکان‌بندیزیر است. بنابراین، با افزایش پیشتر دما بعید نیست ثابت سرعت کاهش یابد.

به منظور انتخاب گستره دمایی، برای ارزیابی پارامترهای جدول سینتیکی و توابع ترمودینامیکی فعالسازی فرایند الکتروپلیمرشدن ارتو-آمینوفنول، این فرایند در دمایهای متعددی بررسی شد. نتایج بررسیها در جدول ۷ ثبت شده است.

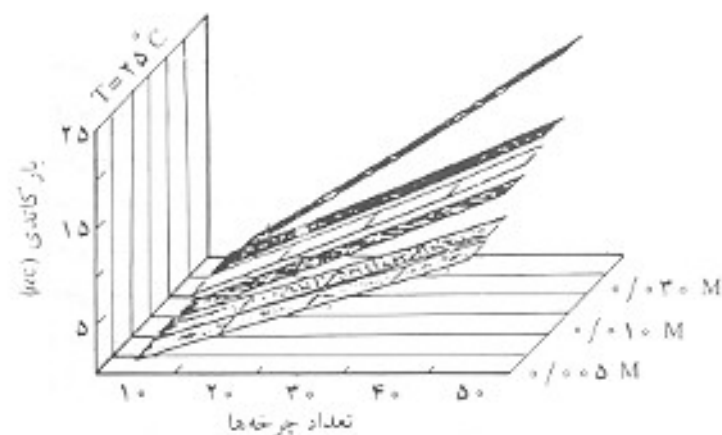
مقادیر پارهای کاتدی، که متناسب با مقدار پلیمر الکتروفعال تشکیل شده است، در هر مورد از وثایموگرامها استخراج و نمودار بار کاتدی بر حسب دما رسم شد (شکل ۵).

براساس مقادیر بار کاتدی و با توجه به جدول ۷ و شکل ۵ می‌توان دریافت که با افزایش دما تا 25°C ، مقدار پلیمر الکتروفعال تشکیل شده نیز افزایش یافته است، ولی با افزایش پیشتر دما از 25°C به 45°C مقدار پلیمر تشکیل شده کاهش می‌یابد. کاهش بار کاتدی با افزایش دما به 25°C به 45°C که میزان افزایش تشکیل پلیمر با افزایش دما، خطی است. بنابراین، تابعه یاد شده برای بررسی انتخاب شد.

یکی از موارد مشهود برای فرایند الکتروپلیمرشدن ارتو-آمینوفنول در دمایهای بالاتر از 45°C تغییر رنگ محلول بود. محلولی که در ابتداء بین رنگ بود، در دمایهای بالا در طول فرایند الکتروپلیمرشدن به رنگ نارنجی درآمد. علت تغییر رنگ را این تحرک ذرات پیشتر شده و در نتیجه کاتیون رادیکالهای ایجاد شده می‌تواند از سطح الکترود به نوده محلول نفوده کنند و چون این ذرات، شکل اکبید شده ارتو-آمینوفنول اند باعث تغییر

جدول ۷- مقادیر بار کاتدی استخراج شده از وثایموگرامهای جرخهای الکتروپلیمرشدن OAP در دمایهای مختلف.

| T(°C) | Q _e (μC) |
|-------|---------------------|
| 75 | 65 |
| 65 | 55 |
| 55 | 45 |
| 45 | 35 |
| 35 | 25 |
| 25 | 15 |
| 15 | 5 |
| 5 | 2 |



شکل ۴- بار کاتدی کل بر حسب تعداد چرخه های می طی شده در طول فرایند الکتروپلیمرشدن ارتو-آمینوفنول در دمای 25°C .

یافته می شود. به عنوان مثال در غلظت $M/0.05$ ، سرعت پلیمرشدن الکتروشیمیایی با افزایش دما از 25°C به 45°C مقدار $1/692$ برابر و با افزایش دما از 25°C به 45°C مقدار $1/009$ برابر افزایش نشان می دهد.

تعیین ثابت سرعت پلیمرشدن الکتروشیمیایی ارتو-آمینوفنول در ادامه مطالعات سینتیکی فرایند پلیمرشدن الکتروشیمیایی ارتو-آمینوفنول و با توجه به اینکه سرعتهای پلیمرشدن در محدوده غلظت $M/0.05$ - $M/0.05$ از مطالعات ییشین حاصل شده است و با استفاده از جدول ۶- تابعهای سرعت در دمایهای مختلف برای الکتروپلیمرشدن ارتو-آمینوفنول.

| Log(dO _e /dt) | Log(O _e /AP) |
|--------------------------|-------------------------|
| 45°C | 25°C |
| - $0/241$ | - $0/282$ |
| - $0/275$ | - $0/299$ |
| - $0/278$ | - $0/286$ |
| - $0/109$ | - $0/265$ |
| - $0/54$ | - $0/226$ |
| - $0/058$ | - $0/048$ |
| $0/214$ | $0/183$ |
| $2/166$ | $1/595$ |
| $0/992$ | $0/948$ |

Kapp
 $(\text{m}^{-1}\text{m}^{-2}\text{cycle})$

کوچک است.

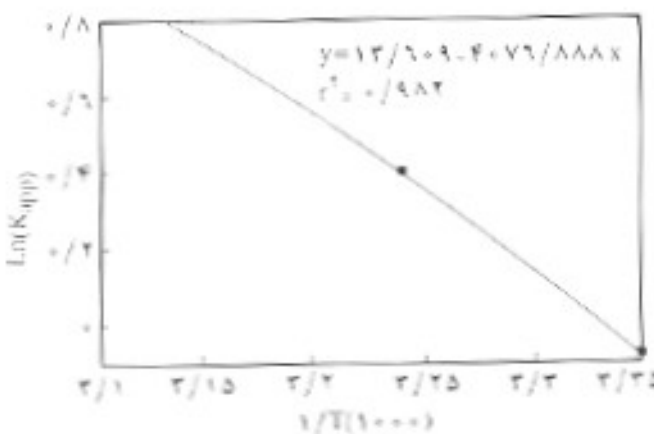
تعیین ارزی فعالسازی و ضریب پیش‌نمای برای فرایند الکتروپلیمر شدن ارنوآمینوفول

پیش‌نی می‌شود که ثابت سرعت در واکنش‌های تشکیل پلیمر بر سطح با تغیر خوبی از معادله آربیوس پیروی کند. معادله آربیوس در گزنه دمایی کم با گذم زیاد تغییرات صادق است، یعنی $\ln k = \frac{1}{T} + \text{const}$ است. همچنان، در گزنه دمایی محدود است که ارزی فعالسازی و ضریب پیش‌نمای مستقل از دماس است و فقط پستگی ثابت سرعت را با دمایان می‌کند [۲۳]

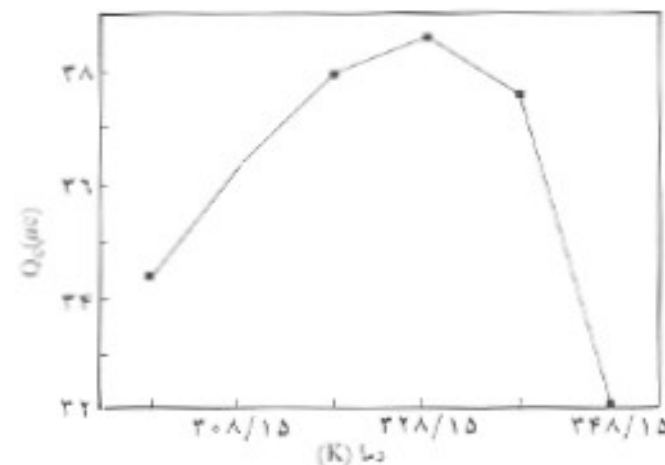
با توجه به اینکه از آزمایشها و محاسبات قبلی مقادیر ثابت سرعت در چند دمای مین عین شده است (جدول ۶)، از این رو می‌توان را ترسیم نمودار لگاریتمی ثابت سرعت ظاهری الکتروپلیمر شدن بر حسب غلکس دمای (شکل ۶) مقدار ارزی فعالسازی (E_a) را از شبیه سطح و ضریب پیش‌نمایی (A) را از آتش لگاریتم عرض از مبدأ خطوط بدست آور.

با مقایسه ارزی فعالسازی برای فرایند پلیمر شدن الکتروپلیمری ۳- مبتل تیوفن (16 kJ/mol) و ارتسو آمینوفول (22 kJ/mol) استطاعت می‌شود که فرایند الکتروپلیمر شدن ارنوآمینوفول به ارزی پشتی دارد و متکافتر از ۳- مبتل تیوفن احتمام می‌شود.

با توجه به شکل ۶ می‌توان دید که در دمای بالاتر از 25°C k_{app} به آرامی از خط راست منحرف می‌شود (یعنی مقدار $\ln k$ کمتر از مقدار قابل انتظار است) که احتمالاً به دلیل نموده گاتیون رادیکالها از تردیگی الکترود به سمت توده محلول است.



شکل ۶- نمودار ارتسو آمینوفول، دبرحسب $\ln k_{app}$ بر حسب $(1/T)$ سرای الکتروپلیمر شدن ارنوآمینوفول ($M = 1.715 \times 10^8 \mu\text{g}/\text{cycle}$) و $(E_a = 24/22 \text{ kJ/mol})$.



شکل ۵- روند تغییرات سازگاراندی بر حسب تغییرات دمای الکتروپلیمر شدن ارنوآمینوفول.

رنگ می‌شوند. با تکذیب زمان بیشتر از فرایند الکتروپلیمر شدن، به دلیل تجمع پیشتر این گونه‌ها در محلول و از طرفی با اتصال آنها به یکدیگر و تشکیل مولکولهای مزدوج، محلول پررنگر می‌شود. این نموده گاتیون رادیکالها به توده محلول مانع از تشکیل پلیمر بر سطح الکترود شده و در نتیجه باعث کاهش سرعت پلیمر شدن می‌شود [۱۶]. بطور کلی، سرعت فرایند الکتروپلیمر شدن لاحدی با افزایاد دمای افزایش می‌یابد. در مورد الکتروپلیمر شدن ارنوآمینوفول با توجه به شکل ۴ این محدوده دمایین $55-60^\circ\text{C}$ است.

همچنین، مرتبه واکنش را طبق می‌نفتق و سرعت را مشخص می‌سازد. در این مورد خاص می‌توان آن را به عنوان گسر موثر پلیمر بر سطح الکترود تغییر کرد. برای پلیمر شدن الکتروپلیمری ارنوآمینوفول مرتبه واکنش نسبت به ارنوآمینوفول در محدوده $25-30^\circ\text{C}$ برای گزنه دمایی $25-45^\circ\text{C}$ بدست آمد.

مقدار کوچک α یا نگر کوچک بودن گسر پلیمرهایی است که در پلیمر شدن درگیر شده‌اند. همچنان که ضخامت فیلم افزایش می‌یابد، پلیمری که در استمار سوب کرده شده، را پلیمرهایی که دوباره بر سطح تشکیل می‌شود، می‌پوشاند. به عبارتی، پلیمرهای تشکیل شده ابتدایی در برخورد با محلول رشد نمی‌کنند و هیچ اثر مشترکتی روی سرعت واکنش ندارند که این امر منجر به کاهش مقدار α می‌شود [۱۷].

طبق مکالمه گزارش شده [۲۱] می‌توان حدس دیگری را که سوپر اسلی در تشکیل فیلم پلی ارتسو آمینوفول، $2\text{-آمینو استوکاربون، دیمر حلقوی ارنوآمینوفول}$ است. بدین ترتیب به غیر از جدب سطحی، که خود باعث کاهش درجه واکنش نسبت به ماده اولیه می‌شود، درجه واکنش نسبت به ارنوآمینوفول

گرماگیر بودن فرایند است.

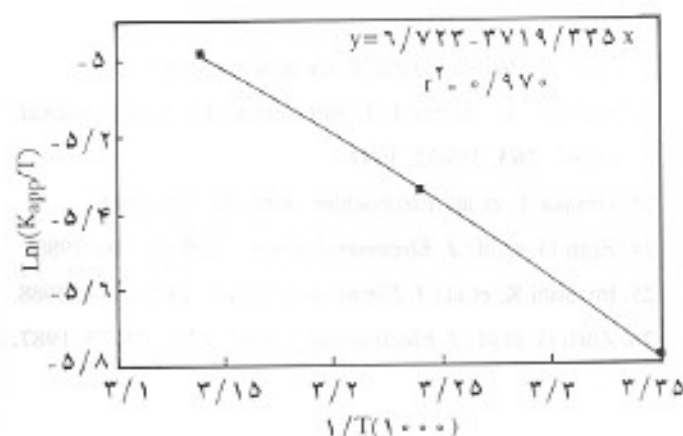
مقدار محاسبه شده برای $\Delta G^\#$ حاکم از خودبخودی نیودن فرایند است که با روش تهیه پلیمر، یعنی اعمال پتانسیل برای شروع فرایند الکتروپلیمرشدن، مطابقت دارد.

نتیجه گیری

در این طرح فرایند الکتروپلیمرشدن ارتوآمینو فنول با روش ولتامتری چرخه‌ای در محیط آبی اسیدی با استفاده از الکترودهای طلا، پلاتین و کربن شیشه‌ای در دماهای مختلف بررسی شد و مسی سرعت، ثابت سرعت، فاکتور پیش‌نمایی، انرژی فعالسازی، آنتالپی، آنتروپی و انرژی آزاد گیس فعالسازی مربوط به فرایند الکتروپلیمرشدن ارتوآمینوفنول معین شد.

مراجع

1. Imisides M. D. et al.; *Electroanalysis*; **3**, 879, 1991.
2. Deronzier A. and Moutet J. C.; *ACS. Chem. Res.*; **22**, 249, 1989.
3. Diaz A. F. et al.; *J. Chem., Soc. Chem. Commun.*; 635, 1979.
4. Diaz A. F.; *Chem. Scr.*; **17**, 145, 1981.
5. Ellis C. D. et al.; *Inorg. Chem.*; **22**, 1283, 1983.
6. Wang J. et al.; *Electroanal. Chem.*; **273**, 231, 1985.
7. Kellet R. M. and Spiro T. G.; *Inorg. Chem.*; **24**, 2378, 1985.
8. Mohilner D. M. et al.; *J. Am. Chem. Soc.*; **84**, 3618, 1962.
9. Kitani A. and et al.; *Synth. Met.*; **18**, 341, 1987.
10. Kunimura S. et al.; *Macromolecules*; **21**, 8, 4, 1988.
11. Ohsaka T. et al.; *Electrochim. Acta*; **33**, 63, 1988.
12. Barbero C., J. J. Silber and Sereno L.; *J. Electroanal. Chem.*; **263**, 333, 1989.
13. Barbero C. and J. J. Silber and Sereno L.; *J. Electroanal. Chem.*; **291**, 81-101, 1990.
14. Kudelski A. and Bukowska J.; *J. Molecular Structure*; **275**, 145-150, 1992.
15. Jackowsak K. et al.; *J. Electroanal. Chem.*; **350**, 177-87, 1993.



شکل ۷ - $\ln(K_{app}/T)$ بر حسب $1/T$ برای الکتروپلیمرشدن ارتوآمینوفنول، $\Delta H^\# = 3/816 \text{ kJ/mol}$, $\Delta S^\# = 128/956 \text{ J/K/mol}$, $(\Delta G^\# = 45/242 \text{ kJ/mol})^{-1}$.

تبیین توابع ترمودینامیکی فعالسازی برای فرایند الکتروپلیمرشدن ارتوآمینوفنول

توابع آنتالپی و آنتروپی فعالسازی از معادله آبرینگک براساس نظری قابل دستیابی است. برای ترسیم این معادله کافی است چند ثابت سرعت در دماهای متفاوت محاسبه شود. با توجه به اینکه ثابت‌های سرعت ظاهری فرایند الکتروپلیمرشدن ارتوآمینوفنول در سه دما طبق جدول ۶ محاسبه شده‌اند، بنابراین می‌توان با ترسیم نمودار لگاریتمی (K_{app}/T) بر حسب عکس دما (شکل ۷) از شب خط تابع آنتالپی فعالسازی ($\Delta H^\#$) و از آنتی لگاریتم عرض از مبدأ تابع آنتروپی فعالسازی ($\Delta S^\#$) را محاسبه کرد.

همچنین، با توجه به رابطه‌ای که بین انرژی آزاد گیس فعالسازی و آنتروپی و آنتالپی فعالسازی برقرار است (معادله ۳) می‌توان مقدار تابع انرژی آزاد گیس فعالسازی را در 25°C محاسبه کرد. آنتروپی فعالسازی منفی بودست آمده است، که این علامت منفی تشکیل کمپلکس فعال منظم را همان‌گونه که فرض شد تایید می‌کند. زیرا، رشد زنجیر پلیمر شامل واکنش‌های دومولکولی بین کاتیون رادیکالهای است که باعث ایجاد نظم در سیستم و موج کاهش آنتروپی می‌شود. دلیل دیگر اینکه کاتیون رادیکالهای تولید شده در طول الکتروپلیمرشدن خلی بستر از ماده اولیه در محیط حل می‌شود [۱۶].

گرمایی که در یک واکنش شیمیایی جذب یا دفع می‌شود، مقداری ثابت است. بدین معنا، تغییر آنتالپی در قشار ثابت همان مقدار گرمایی است که در واکنش بین دو سیستم (سطح الکترود) و محیط (سلول) برای تشکیل ماده مبادله می‌شود. برای فرایند الکتروپلیمرشدن ارتوآمینوفنول $\Delta H^\#$ مقداری مثبت محاسبه شده است که بیانگر

- Chemical Rubber, John Wiley & Sons, 1986.
22. Barbero C., Silbet J. J. and Sereno L.; *J. Electroanal. Chem.*; **263**, 333-52, 1989.
23. Ohsaka T. et al.; *Electrochim. Acta*; **33**, 639, 1988.
24. Zotti G. et al.; *J. Electroanal. Chem.*; **239**, 387-96, 1988.
25. Imanishi K. et al.; *J. Electroanal. Chem.*; **242**, 203-8, 1988.
26. Zotti G. et al.; *J. Electroanal. Chem.*; **235**, 259-73, 1987.
16. Wei Y. et al.; *J. Phys. Chem.*; **97**, 12842, 1993.
17. Wei Y. et al.; *J. Phys. Chem.*; **94**, 7716-21, 1990.
18. Wei Y. et al.; *J. Phys. Chem.*; **93**, 4878-81, 1989.
19. Ibid. 495-99
20. Laidler K. J.; *Chemical Kinetics*; 3rd ed., Marcel Dekker, New York, 1993.
21. *Handbook of Chemistry and Physics*; West R. C. (Ed.),